

# Fluctuations anormales du choc dans le processus d'exclusion

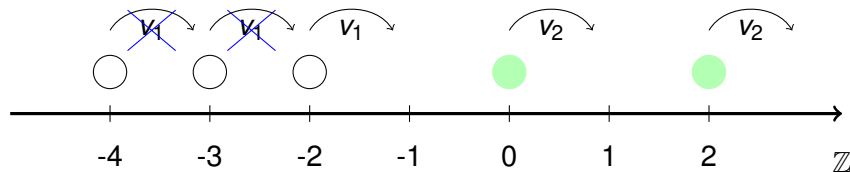
Peter Nejjar  
en collaboration avec Patrik Ferrari

Université de Bonn  
Institut de mathématiques appliquées

11<sup>ième</sup> colloque des jeunes probabilistes et statisticiens  
Forges-les-Eaux, 6.4 - 11.4 2014

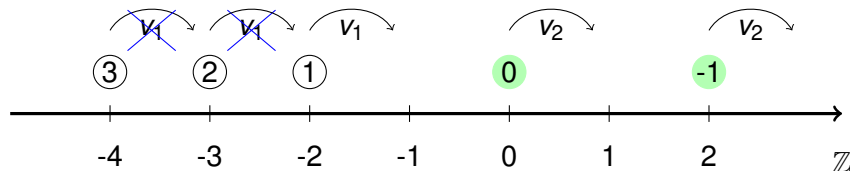


# TASEP



- ▶ **Dynamique:** particules placées sur  $\mathbb{Z}$  sautent sur le site à leur droite, indépendamment en respectant **la contrainte d'exclusion**
- ▶ On considère aussi des taux de sauts dépendants des particules

# TASEP



- ▶ **Dynamique:** particules placées sur  $\mathbb{Z}$  sautent sur le site à leur droite, indépendamment en respectant **la contrainte d'exclusion**
- ▶ On considère aussi des taux de sauts dépendants des particules

On numérote les particules de droite à gauche

$$\dots < x_3(0) < x_2(0) < x_1(0) < 0 \leq x_0(0) < x_{-1}(0) < \dots$$

$x_k(t)$  = position de la particule  $k$  à l'instant  $t$

# TASEP: KPZ et déterminants

Soit  $\eta \in \{0, 1\}^{\mathbb{Z}}$  une condition initiale (CI), i.e.  $\eta(x) = 1$  si  $x$  est initialement occupé, sinon  $\eta(x) = 0$ . On y associe une fonction de hauteur  $h(x)$  en fixant

$$h(0) = 0, \quad h(x + 1) - h(x) = 1 - 2\eta(x),$$

# TASEP: KPZ et déterminants

Soit  $\eta \in \{0, 1\}^{\mathbb{Z}}$  une condition initiale (CI), i.e.  $\eta(x) = 1$  si  $x$  est initialement occupé, sinon  $\eta(x) = 0$ . On y associe une fonction de hauteur  $h(x)$  en fixant

$$h(0) = 0, \quad h(x + 1) - h(x) = 1 - 2\eta(x),$$

- ▶ Le TASEP est alors un modèle de croissance aléatoire, membre de la classe **KPZ**.

# TASEP: KPZ et déterminants

Soit  $\eta \in \{0, 1\}^{\mathbb{Z}}$  une condition initiale (CI), i.e.  $\eta(x) = 1$  si  $x$  est initialement occupé, sinon  $\eta(x) = 0$ . On y associe une fonction de hauteur  $h(x)$  en fixant

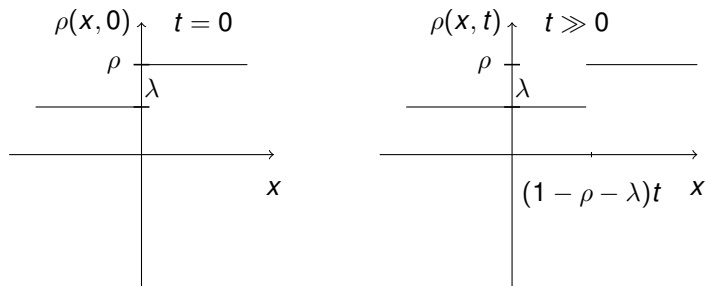
$$h(0) = 0, \quad h(x+1) - h(x) = 1 - 2\eta(x),$$

- ▶ Le TASEP est alors un modèle de croissance aléatoire, membre de la classe **KPZ**.
- ▶ Le TASEP a une structure déterminantale, on a pour toute CI déterministe [BF '08]:

$$\mathbb{P}(x_k(t) \leq s) = \det(1 - \chi_s K_t \chi_s).$$

# Chocs

- ▶ Discontinuités de la densité des particules sont appelées **chocs**



- ▶ Condition initiale :  $\text{Ber}(\rho)$  sur  $\mathbb{N}$  et  $\text{Ber}(\lambda)$  sur  $\mathbb{Z}_-$ .
- ▶ Le choc est identifié par la position  $Z_t$  d'une particule de deuxième classe :

$$\frac{Z_t - vt}{t^{1/2}} \xrightarrow{t \rightarrow \infty} \mathcal{N}(0, 1), \quad v = 1 - \rho - \lambda \quad (1)$$

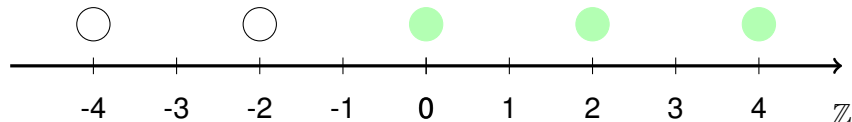
Question: Pour des conditions initiales (CI) déterministes les fluctuations du choc sont-elles encore gaussiennes et d'ordre  $t^{1/2}$  ?

# TASEP à deux vitesses et CI périodique

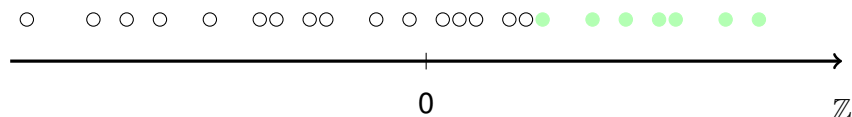
$t = 0$

$v_1 = 1$

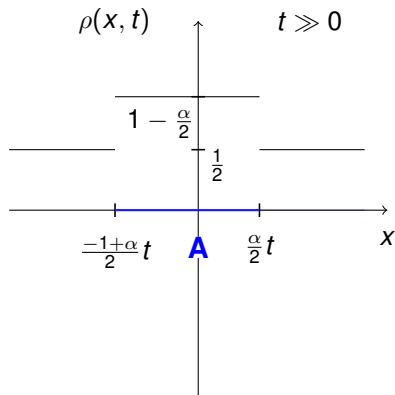
$v_2 = \alpha < 1$



$t \gg 0$



# Description macroscopique du profil de densité



- ▶ La dernière particule lente se trouve à  $(1 - \rho)\alpha t = \frac{\alpha}{2}t$ .
- ▶ Derrière, il y a une région A de densité  $\rho = 1 - \alpha/2$ , donc plus élevée.
- ▶ La particule  $\frac{2-\alpha}{4}t$  se trouve à la position du choc.

Pour  $\eta \neq \frac{2-\alpha}{4}$ , la particule  $\eta t$  se trouve dans les régions de densité constante. Les fluctuations de sa position  $x_{\eta t}$  sont gouvernées par la loi  $F_1$  GOE Tracy-Widom des matrices aléatoires et sont d'ordre  $t^{1/3}$ .

**But:** Déterminer les fluctuations de  $x_{n(t)}$  lorsque  $t \rightarrow \infty$ :

$$\lim_{t \rightarrow \infty} \mathbb{P} \left( \frac{x_{n(t)}(t) - vt}{t^{1/3}} \leq s \right) = ?$$

où  $vt$  est la position (macro) de la particule  $n(t)$ . Dans notre exemple:  $n(t) = \frac{2-\alpha}{4}t$ ,  $vt = \frac{-1+\alpha}{2}t$

---

Pour toute CI déterministe, la loi de  $x_{n(t)}$  est donnée par le déterminant de Fredholm d'un opérateur avec un noyau  $K_t$  [BF '08],

$$\lim_{t \rightarrow \infty} \mathbb{P} \left( \frac{x_{n(t)}(t) - vt}{t^{1/3}} \leq s \right) = \lim_{t \rightarrow \infty} \det(1 - \chi_s K_t \chi_s), \quad (2)$$

**But:** Déterminer les fluctuations de  $x_{n(t)}$  lorsque  $t \rightarrow \infty$ :

$$\lim_{t \rightarrow \infty} \mathbb{P} \left( \frac{x_{n(t)}(t) - vt}{t^{1/3}} \leq s \right) = ?$$

où  $vt$  est la position (macro) de la particule  $n(t)$ . Dans notre exemple:  $n(t) = \frac{2-\alpha}{4}t$ ,  $vt = \frac{-1+\alpha}{2}t$

---

Pour toute CI déterministe, la loi de  $x_{n(t)}$  est donnée par le déterminant de Fredholm d'un opérateur avec un noyau  $K_t$  [BF '08],

$$\lim_{t \rightarrow \infty} \mathbb{P} \left( \frac{x_{n(t)}(t) - vt}{t^{1/3}} \leq s \right) = \lim_{t \rightarrow \infty} \det(1 - \chi_s K_t \chi_s), \quad (2)$$

**Problème:**  $K_t$  diverge dans notre exemple (même si le déterminant de Fredholm converge). Donc la limite (2) ne peut pas être analysée directement.

# Résultat principal

**Théorème (Choc  $F_1$ - $F_1$ , [Ferrari, N. '14])**

Soit  $x_n(0) = -2n$  pour  $n \in \mathbb{Z}$ . Pour  $\alpha < 1$  soit  $\eta = \frac{2-\alpha}{4}$  et  $v = -\frac{1-\alpha}{2}$ . On a

$$\lim_{t \rightarrow \infty} \mathbb{P} \left( \frac{x_{\eta t + \xi t^{1/3}}(t) - vt}{t^{1/3}} \leq s \right) = F_1 \left( \frac{s - 2\xi}{\sigma_1} \right) F_1 \left( \frac{s - \frac{2\xi}{2-\alpha}}{\sigma_2} \right),$$

où  $F_1$  est la loi GOE de Tracy-Widom,

$$\sigma_1 = \frac{1}{2} \text{ et } \sigma_2 = \frac{\alpha^{1/3}(2-2\alpha+\alpha^2)^{1/3}}{2(2-\alpha)^{2/3}}.$$

# Résultat principal

**Théorème (Choc  $F_1$ - $F_1$ , [Ferrari, N. '14])**

Soit  $x_n(0) = -2n$  pour  $n \in \mathbb{Z}$ . Pour  $\alpha < 1$  soit  $\eta = \frac{2-\alpha}{4}$  et  $v = -\frac{1-\alpha}{2}$ . On a

$$\lim_{t \rightarrow \infty} \mathbb{P} \left( \frac{x_{\eta t + \xi t^{1/3}}(t) - vt}{t^{1/3}} \leq s \right) = F_1 \left( \frac{s - 2\xi}{\sigma_1} \right) F_1 \left( \frac{s - \frac{2\xi}{2-\alpha}}{\sigma_2} \right),$$

où  $F_1$  est la loi GOE de Tracy-Widom,

$$\sigma_1 = \frac{1}{2} \text{ et } \sigma_2 = \frac{\alpha^{1/3}(2-2\alpha+\alpha^2)^{1/3}}{2(2-\alpha)^{2/3}}.$$

En remplaçant  $s \rightarrow s + 2\xi$ , lorsque  $\xi \rightarrow +\infty$  on retrouve GOE, également en changeant  $s \rightarrow s + 2\xi/(2-\alpha)$  et  $\xi \rightarrow -\infty$ .

# Percolation de dernier passage (LPP)

**Ansatz:** Reformulation du problème en termes d'un modèle de **LPP général**.

Soient  $(\omega_{i,j})_{(i,j) \in \mathbb{Z}^2}$  des v. a. indépendantes,  $\mathcal{L} \subseteq \mathbb{Z}^2$  et  $\pi$  une trajectoire nord-est de  $\mathcal{L}$  à  $(m, n)$ .

Le temps maximal de percolation  $L_{\mathcal{L} \rightarrow (m,n)}$  est donné par

$$L_{\mathcal{L} \rightarrow (m,n)} := \max_{\pi: \mathcal{L} \rightarrow (m,n)} \sum_{(i,j) \in \pi} \omega_{i,j} = \sum_{(i,j) \in \pi^{\max}} \omega_{i,j}.$$

# Percolation de dernier passage (LPP)

**Ansatz:** Reformulation du problème en termes d'un modèle de **LPP général**.

Soient  $(\omega_{i,j})_{(i,j) \in \mathbb{Z}^2}$  des v. a. indépendantes,  $\mathcal{L} \subseteq \mathbb{Z}^2$  et  $\pi$  une trajectoire nord-est de  $\mathcal{L}$  à  $(m, n)$ .

Le temps maximal de percolation  $L_{\mathcal{L} \rightarrow (m,n)}$  est donné par

$$L_{\mathcal{L} \rightarrow (m,n)} := \max_{\pi: \mathcal{L} \rightarrow (m,n)} \sum_{(i,j) \in \pi} \omega_{i,j} = \sum_{(i,j) \in \pi^{\max}} \omega_{i,j}.$$

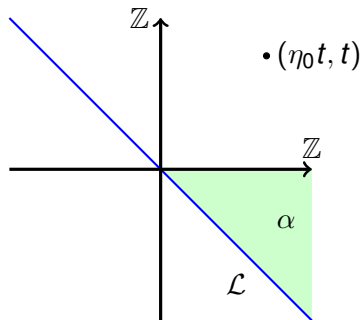
TASEP avec CI  $(x_k(0))_{k \in \mathbb{Z}}$ . Posons

- ▶  $\omega_{i,j}$  le temps d'attente exponentiel de la particule  $j$ ,
- ▶  $\mathcal{L} = \{(k, u) \mid u = k + x_k(0), k \in \mathbb{Z}\}$ ,

on a

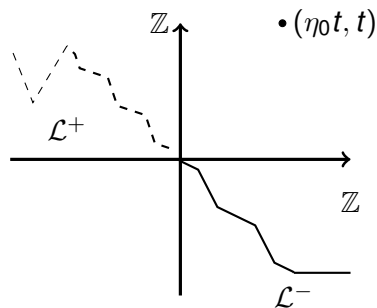
$$\mathbb{P}(L_{\mathcal{L} \rightarrow (m,n)} \leq t) = \mathbb{P}(x_n(t) \geq m - n).$$

## Exemple: TASEP à deux vitesses comme LPP



- ▶  $\mathcal{L} = \{(u, -u) : u \in \mathbb{Z}\}$
- ▶  $\omega_{i,j} \sim \exp(1)$  dans la région blanche,  $\exp(\alpha)$  dans la région verte.

# Théorème général



Supposons qu'il existe une constante  $\mu$  telle que

$$\lim_{t \rightarrow \infty} \mathbb{P} \left( \frac{L_{\mathcal{L}^+ \rightarrow (\eta_0 t, t)} - \mu t}{t^{1/3}} \leq s \right) = G_1(s),$$

$$\lim_{t \rightarrow \infty} \mathbb{P} \left( \frac{L_{\mathcal{L}^- \rightarrow (\eta_0 t, t)} - \mu t}{t^{1/3}} \leq s \right) = G_2(s).$$

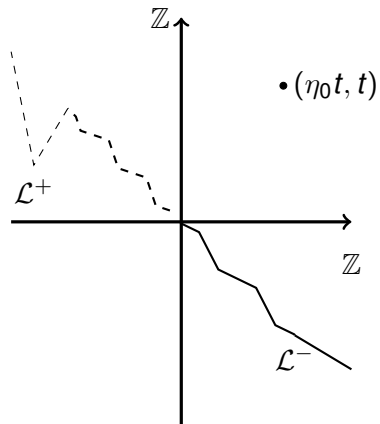
## Théorème (Ferrari, N. 14)

*Sous certaines hypothèses on a*

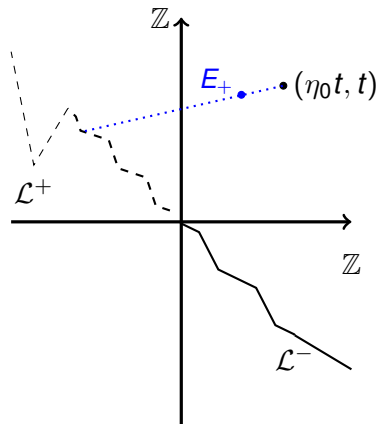
$$\lim_{t \rightarrow \infty} \mathbb{P} \left( \frac{L_{\mathcal{L} \rightarrow (\eta_0 t, t)} - \mu t}{t^{1/3}} \leq s \right) = G_1(s)G_2(s),$$

où  $\mathcal{L} = \mathcal{L}^+ \cup \mathcal{L}^-$ .

# A propos des hypothèses



# A propos des hypothèses

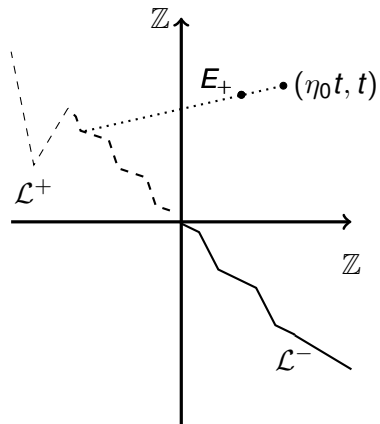


I. Supposons  $\exists$  un point  $E^+ = (\eta_0 t - \kappa t^\nu, t - t^\nu)$  tel que, pour certains  $\mu_0$  et  $\nu \in (1/3, 1)$ , on a

$$\frac{L_{\mathcal{L}^+ \rightarrow E^+} - \mu t + \mu_0 t^\nu}{t^{1/3}} \rightarrow G_1$$

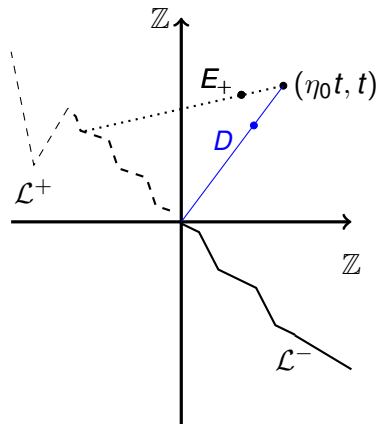
$$\frac{L_{E^+ \rightarrow (\eta_0 t, t)} - \mu_0 t^\nu}{t^{\nu/3}} \rightarrow G_0,$$

# A propos des hypothèses



## I. Décorrélation lente

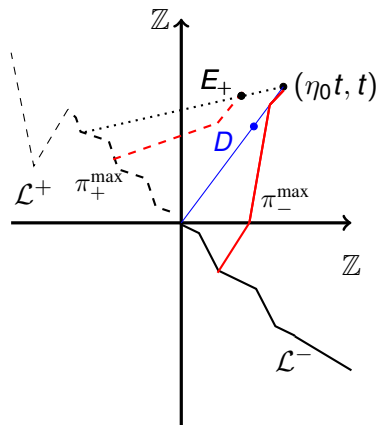
# A propos des hypothèses



I. *Décorrélation lente*

II. Supposons  $\exists$  un point  $D$  sur  $(0,0)(\eta_0 t, t)$  et à droite de  $E_+$  tel que  $\pi_+^{\max}$  et  $\pi_-^{\max}$  ne croisent pas  $\overline{(0,0)D}$  avec probabilité 1 pour  $t \rightarrow \infty$ .

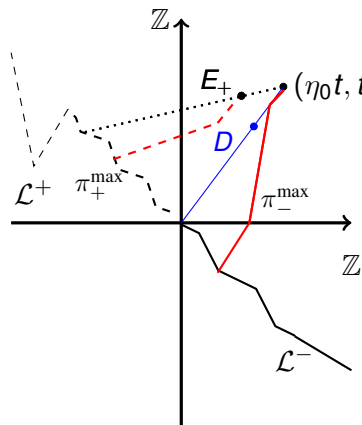
# A propos des hypothèses



I. *Décorrélation lente*

II. Supposons  $\exists$  un point  $D$  sur  $\overline{(0,0)(\eta_0 t, t)}$  et à droite de  $E_+$  tel que  $\pi_+^{\max}$  et  $\pi_-^{\max}$  ne croisent pas  $\overline{(0,0)D}$  avec probabilité 1 pour  $t \rightarrow \infty$ .

# A propos des hypothèses



I. *Décorrélation lente*

II. *Pas de croisements*

## Remarques:

- ▶ (I.) est lié au phénomène universel de la **décorrélation lente** [CFP '12]
- ▶ (II.) suit si les lignes caractéristiques des deux problèmes LPP se croisent à  $(\eta_0 t, t)$  (ceci est précisément le cas pour les chocs), et si les **fluctuations transversales** sont seulement d'ordre  $\mathcal{O}(t^{2/3})$  [J '00]

Merci de votre attention!

[CFP '12]

Ivan Corwin, Patrik Ferrari, Sandrine Péché,  
*Universality of slow decorrelation*, Ann. Inst. H. Poincaré B 48  
(2012), 134-150

[J '00]

K. Johansson,  
*Transversal fluctuations for increasing subsequences on the  
plane*, Probab. Theory Related Fields 116 (2000), 445-456.

[BF '08]

Alexei Borodin, Patrik Ferrari *Large time asymptotics of growth  
models on space-like paths I: PushASEP* Electron. J. Probab.  
13 (2008), 1380-1418

[Ferrari, N. '14]

Patrik Ferrari, Peter Nejjar  
*Anomalous shock fluctuations in TASEP and last passage  
percolation models*, PTRF, 2014, online first